

Starkniederschlagshöhen und -spenden gemäß KOSTRA-DWD-2010R

Auswertungszeitraum von 1951 - 2010, Januar - Dezember

Rasterfeld: 18035

Zeile: 18

Spalte: 35

Seite: 1/2

| Dauerstufe D | Wiederkehrzeit T | | | | | | | | | | | | | | | | | | |
|--------------|------------------|------|------------|------|------------|------|------------|------|------------|------|------------|------|------------|------|------------|------|------------|-------|------------|
| | 1 a | | 2 a | | 3 a | | 5 a | | 10 a | | 20 a | | 30 a | | 50 a | | 100 a | | |
| min | Std | mm | l / (s ha) | mm | l / (s ha) | mm | l / (s ha) | mm | l / (s ha) | mm | l / (s ha) | mm | l / (s ha) | mm | l / (s ha) | mm | l / (s ha) | mm | l / (s ha) |
| 5 | | 4,5 | 150,0 | 6,2 | 206,7 | 7,2 | 240,0 | 8,5 | 283,3 | 10,2 | 340,0 | 11,9 | 396,7 | 12,9 | 430,0 | 14,2 | 473,3 | 15,9 | 530,0 |
| 10 | | 7,2 | 120,0 | 9,5 | 158,3 | 10,9 | 181,7 | 12,5 | 208,3 | 14,8 | 246,7 | 17,1 | 285,0 | 18,4 | 306,7 | 20,1 | 335,0 | 22,4 | 373,3 |
| 15 | | 9,1 | 101,1 | 11,8 | 131,1 | 13,4 | 148,9 | 15,4 | 171,1 | 18,0 | 200,0 | 20,7 | 230,0 | 22,3 | 247,8 | 24,3 | 270,0 | 27,0 | 300,0 |
| 20 | | 10,4 | 86,7 | 13,5 | 112,5 | 15,2 | 126,7 | 17,5 | 145,8 | 20,5 | 170,8 | 23,5 | 195,8 | 25,3 | 210,8 | 27,5 | 229,2 | 30,6 | 255,0 |
| 30 | | 12,2 | 67,8 | 15,8 | 87,8 | 17,9 | 99,4 | 20,6 | 114,4 | 24,1 | 133,9 | 27,7 | 153,9 | 29,8 | 165,6 | 32,4 | 180,0 | 36,0 | 200,0 |
| 45 | | 13,8 | 51,1 | 18,1 | 67,0 | 20,5 | 75,9 | 23,7 | 87,8 | 27,9 | 103,3 | 32,1 | 118,9 | 34,6 | 128,1 | 37,7 | 139,6 | 41,9 | 155,2 |
| 60 | | 14,8 | 41,1 | 19,6 | 54,4 | 22,3 | 61,9 | 25,8 | 71,7 | 30,6 | 85,0 | 35,4 | 98,3 | 38,1 | 105,8 | 41,6 | 115,6 | 46,4 | 128,9 |
| 90 | | 16,4 | 30,4 | 21,5 | 39,8 | 24,4 | 45,2 | 28,2 | 52,2 | 33,2 | 61,5 | 38,3 | 70,9 | 41,2 | 76,3 | 44,9 | 83,1 | 50,0 | 92,6 |
| 120 | 2 | 17,7 | 24,6 | 23,0 | 31,9 | 26,1 | 36,3 | 29,9 | 41,5 | 35,2 | 48,9 | 40,5 | 56,3 | 43,5 | 60,4 | 47,4 | 65,8 | 52,7 | 73,2 |
| 180 | 3 | 19,7 | 18,2 | 25,3 | 23,4 | 28,5 | 26,4 | 32,7 | 30,3 | 38,2 | 35,4 | 43,8 | 40,6 | 47,1 | 43,6 | 51,2 | 47,4 | 56,8 | 52,6 |
| 240 | 4 | 21,2 | 14,7 | 27,0 | 18,8 | 30,5 | 21,2 | 34,7 | 24,1 | 40,6 | 28,2 | 46,4 | 32,2 | 49,8 | 34,6 | 54,1 | 37,6 | 59,9 | 41,6 |
| 360 | 6 | 23,6 | 10,9 | 29,8 | 13,8 | 33,4 | 15,5 | 37,9 | 17,5 | 44,1 | 20,4 | 50,3 | 23,3 | 53,9 | 25,0 | 58,5 | 27,1 | 64,6 | 29,9 |
| 540 | 9 | 26,2 | 8,1 | 32,8 | 10,1 | 36,6 | 11,3 | 41,4 | 12,8 | 48,0 | 14,8 | 54,5 | 16,8 | 58,4 | 18,0 | 63,2 | 19,5 | 69,8 | 21,5 |
| 720 | 12 | 28,2 | 6,5 | 35,1 | 8,1 | 39,1 | 9,1 | 44,1 | 10,2 | 51,0 | 11,8 | 57,8 | 13,4 | 61,8 | 14,3 | 66,8 | 15,5 | 73,7 | 17,1 |
| 1080 | 18 | 31,4 | 4,8 | 38,6 | 6,0 | 42,9 | 6,6 | 48,2 | 7,4 | 55,5 | 8,6 | 62,7 | 9,7 | 67,0 | 10,3 | 72,3 | 11,2 | 79,6 | 12,3 |
| 1440 | 24 | 33,8 | 3,9 | 41,4 | 4,8 | 45,8 | 5,3 | 51,4 | 5,9 | 59,0 | 6,8 | 66,5 | 7,7 | 70,9 | 8,2 | 76,5 | 8,9 | 84,1 | 9,7 |
| 2880 | 48 | 41,6 | 2,4 | 49,7 | 2,9 | 54,5 | 3,2 | 60,5 | 3,5 | 68,6 | 4,0 | 76,7 | 4,4 | 81,5 | 4,7 | 87,5 | 5,1 | 95,6 | 5,5 |
| 4320 | 72 | 46,9 | 1,8 | 55,4 | 2,1 | 60,3 | 2,3 | 66,6 | 2,6 | 75,1 | 2,9 | 83,5 | 3,2 | 88,5 | 3,4 | 94,7 | 3,7 | 103,2 | 4,0 |

Angaben in mm: Bemessungsniederschlagswerte h(n)

Angaben in l / (s ha): Regenspende R(n) mit $R(n) = h(n) \times 1,666667 / D[\text{min}]$

Toleranzbereiche:

+/- 10 % für $1 a \leq T \leq 5 a$

+/- 15 % für $5 a < T \leq 50 a$

+/- 20 % für $50 a < T \leq 100 a$

Datenbasis: KOSTRA-DWD-2010R des Deutschen Wetterdienstes. Die Regenspende wurde auf Basis des Bemessungsniederschlags zur jeweiligen Andauer berechnet.

Für die Richtigkeit und Aktualität der Angaben wird keine Gewähr übernommen. Erstellt 07/2022.

Starkniederschlagshöhen und -spenden gemäß KOSTRA-DWD-2010R

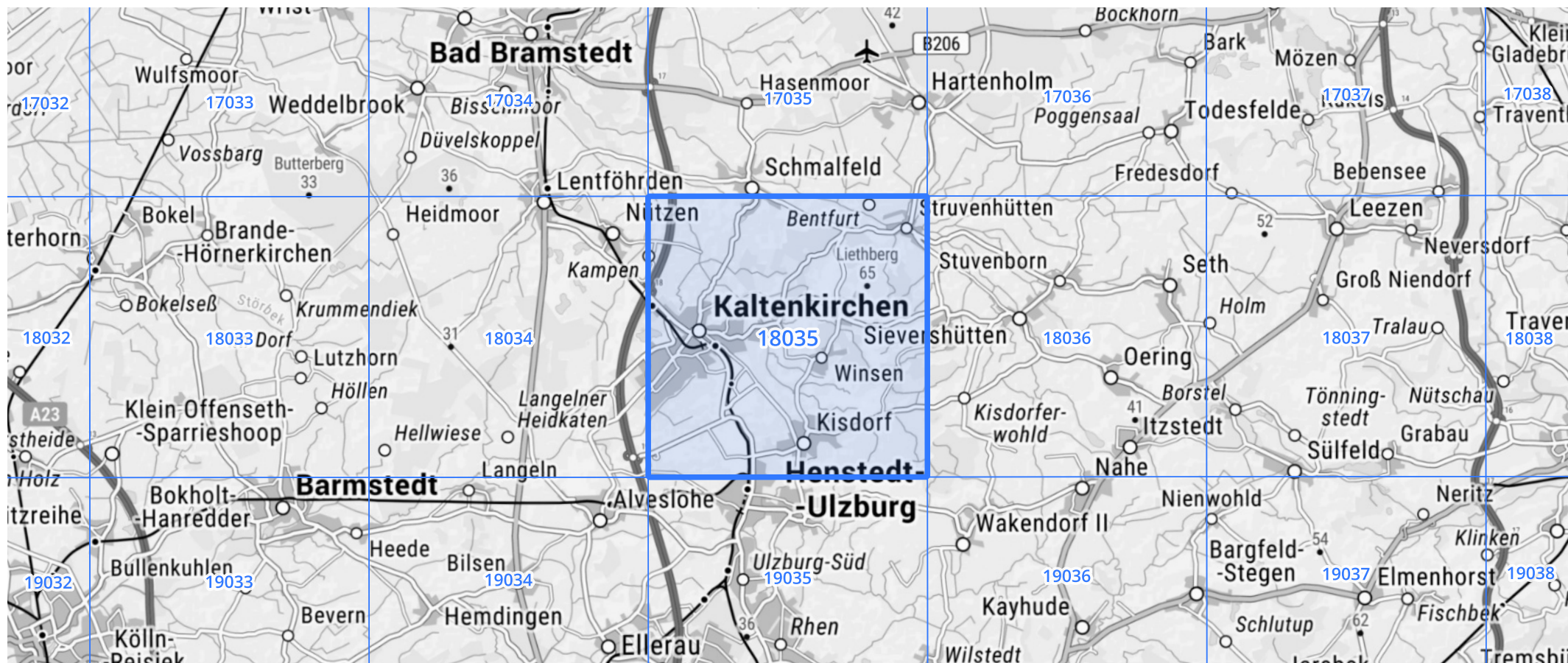
Auswertungszeitraum von 1951 - 2010, Januar - Dezember

Rasterfeld: 18035

Zeile: 18

Spalte: 35

Seite: 2/2



Quelle Rasterdaten: KOSTRA-DWD-2010R des Deutschen Wetterdienstes.

Kartendarstellung: © Bundesamt für Kartographie und Geodäsie (2022), Datenquellen: https://sgx.geodatenzentrum.de/web_public/gdz/datenquellen/Datenquellen_TopPlusOpen.html

Für die Richtigkeit und Aktualität der Angaben wird keine Gewähr übernommen. Erstellt 07/2022.